

TEORIA WSPÓLBIEŻNOŚCI 2023 / 2024

Laboratorium 7 - Zadanie Domowe 2

Współbieżna Eliminacja Gaussa z Wykorzystaniem Teorii Śladów

Wiktor Wilkusz

Spis treści

- [1. Wstęp](#)
- [2. Niepodzielne operacje wykonywane przez algorytm](#)
- [3. Alfabet w sensie Teorii Śladów](#)
- [4. Relacja zależności opisująca algorytm](#)
- [5. Algorytm eliminacji Gaussa w postaci ciągu symboli alfabetu](#)
- [6. Graf zależności Diekerta](#)
- [7. Postać normalna Foaty](#)
- [8. Implementacja algorytmu](#)

1. Wstęp

Ćwiczenie polega na stworzeniu współbieżnego algorytmu eliminacji Gaussa z wykorzystaniem Teorii Śladów. Algorytm na wejściu otrzymuje rozmiar macierzy N , macierz współczynników $M_{i,j}$ (gdzie i to numer wiersza, a j to numer kolumny) o rozmiarze $N \times N$ oraz wektor wyrazów wolnych y o rozmiarze N . Zadaniem algorytmu jest znalezienie wektora niewiadomych x . Rozpatrywane równanie macierzowe jest widoczne poniżej.

$$M \times x = y$$

$$\begin{bmatrix} M_{1,1} & M_{1,2} & \dots & M_{1,N} \\ M_{2,1} & M_{2,2} & \dots & M_{2,N} \\ \vdots & \vdots & \ddots & \vdots \\ M_{N,1} & M_{N,2} & \dots & M_{N,N} \end{bmatrix} \begin{bmatrix} x_1 \\ x_2 \\ \vdots \\ x_N \end{bmatrix} = \begin{bmatrix} y_1 \\ y_2 \\ \vdots \\ y_N \end{bmatrix}$$

2. Niepodzielne operacje wykonywane przez algorytm

Wyróżniono następujące niepodzielne operacje wykonywane przez algorytm:

- $A_{k,i}$ - znalezienie $m_{k,i}$, czyli mnożnika dla wiersza i -tego, potrzebnego do odjęcia wiersza i -tego od wiersza k -tego. Wzór na $m_{k,i}$ jest widoczny poniżej

$$m_{k,i} = \frac{M_{k,i}}{M_{i,i}}$$

- $B_{k,i,j}$ - znalezienie $n_{k,i,j}$, czyli j -tego elementu wiersza i -tego pomnożonego przez mnożnik $m_{k,i}$, potrzebnego do odejmowania od j -tego elementu k -tego wiersza. Wzór na $n_{k,i,j}$ jest widoczny poniżej

$$n_{k,i,j} = M_{i,j} \cdot m_{k,i}$$

- $C_{k,i,j}$ - odjęcie $n_{k,i,j}$ od j -tego elementu wiersza k -tego. Operacja ta jest widoczna poniżej

$$M_{k,j} = M_{k,j} - n_{k,i,j}$$

3. Alfabet w sensie Teorii Śladów

Alfabet w sensie Teorii Śladów zdefiniowano następująco:

$$\begin{aligned} \Sigma = & \{ A_{k,i} \mid 1 \leq i < N, i < k \leq N \} \cup \\ & \{ B_{k,i,j} \mid 1 \leq i < N, i < k \leq N, i \leq j \leq N + 1 \} \cup \\ & \{ C_{k,i,j} \mid 1 \leq i < N, i < k \leq N, i \leq j \leq N + 1 \} \end{aligned}$$

4. Relacja zależności opisująca algorytm

W celu wyznaczenia relacji zależności opisującej algorytm wprowadzono pomocniczą tabelę (Tabela 1.) przedstawiającą dostęp do macierzy i wprowadzonych w punkcie 2 zmiennych przez poszczególne operacje.

operacja	odczyt	modyfikacja
$A_{k,i}$	$M_{k,i}, M_{i,i}$	$m_{k,i}$
$B_{k,i,j}$	$M_{i,j}, m_{k,i}$	$n_{k,i,j}$
$C_{k,i,j}$	$M_{k,j}, n_{k,i,j}$	$M_{k,j}$

Tabela 1. Dostęp do macierzy or wprowadzonych w punkcie 2 zmiennych przez poszczególne operacje

- 1) operacja $B_{k,i,j}$ odczytuje zmienną $m_{k,i}$, która jest modyfikowana przez operację $A_{k,i}$

$$D_1 = \{(A_{k,i}, B_{k,i,j}) \mid A_{k,i}, B_{k,i,j} \in \Sigma\}$$

- 2) operacja $C_{k,i,j}$ odczytuje zmienną $C_{k,i,j}$, która jest modyfikowana przez operację $B_{k,i,j}$

$$D_2 = \{(B_{k,i,j}, C_{k,i,j}) \mid B_{k,i,j}, C_{k,i,j} \in \Sigma\}$$

- 3) operacja $C_{k,i,j}$ modyfikuje zmienną $M_{k,j}$, która:

- a) jest odczytywana przez operację $A_{g,h}$, o ile:
 $(g = k \wedge h = j) \vee (k = h \wedge j = h)$, co jest równoważne
 wyrażeniu: $(h = j) \wedge (g = k \vee k = j)$

$$D_{3a} = \{(C_{k,i,j}, A_{g,h}) \mid C_{k,i,j}, A_{g,h} \in \Sigma \wedge (h = j) \wedge (g = k \vee k = j)\}$$

- b) jest odczytywana przez operację $B_{l,g,h}$, o ile: $g = k \wedge h = j$

$$D_{3b} = \{(C_{k,i,j}, B_{l,g,h}) \mid C_{k,i,j}, B_{l,g,h} \in \Sigma \wedge g = k \wedge h = j\}$$

- c) jest odczytywana przez operację $C_{l,g,h}$, o ile: $l = k \wedge h = j$

$$D_{3c} = \{(C_{k,i,j}, C_{l,g,h}) \mid C_{k,i,j}, C_{l,g,h} \in \Sigma \wedge l = k \wedge h = j\}$$

Uwzględniając symetrię, przechodność i identyczność, relacja zależności wygląda następująco:

$$D = \text{sym}\{\{D_1 \cup D_2 \cup D_{3a} \cup D_{3b} \cup D_{3c}\}^+\} \cup I_\Sigma$$

Relacja niezależności wygląda następująco:

$$I = \Sigma^2 - D$$

5. Algorytm eliminacji Gaussa w postaci ciągu symboli alfabetu

Stworzony zostanie ciąg operacji symbolizujący wykonanie algorytmu eliminacji Gaussa. W tym celu definiujemy Operację $S_{k,i}$ oznaczającą odjęcie i -tego wiersza od wiersza k -tego, której rezultatem jest wyzerowanie elementu $M_{k,i}$. Operacja $S_{k,i}$ to ciąg operacji zdefiniowanych w punkcie 2.

$$S_{k,i} = A_{k,i}, B_{k,i,i}, C_{k,i,i}, B_{k,i,i+1}, C_{k,i,i+1}, \dots, B_{k,i,N}, C_{k,i,N}, B_{k,i,N+1}, C_{k,i,N+1}$$

Algorytm eliminacji Gaussa przyjmuje wtedy następującą postać:

$$S_{2,1}, S_{3,1}, S_{4,1}, \dots, S_{N,1}, S_{3,2}, S_{4,2}, S_{5,2}, \dots, S_{N,N-2}, S_{N,N-1}$$

6. Graf zależności Diekerta

Na podstawie relacji zależności otrzymanych w punkcie 4 zostanie stworzy graf zależności Diekerta.

$$E_1 = \{(A_{k,i}, B_{k,i,j}) \mid A_{k,i}, B_{k,i,j} \in \Sigma\}$$

$$E_2 = \{(B_{k,i,j}, C_{k,i,j}) \mid B_{k,i,j}, C_{k,i,j} \in \Sigma\}$$

$$E_{3a} = \{(C_{k,i,j}, A_{g,h}) \mid C_{k,i,j}, A_{g,h} \in \Sigma \wedge (h = j) \wedge (g = k \vee k = h) \wedge j = h - 1\}$$

$$E_{3b} = \{(C_{k,i,j}, B_{l,g,h}) \mid C_{k,i,j}, B_{l,g,h} \in \Sigma \wedge g = k \wedge h = j \wedge i = g - 1\}$$

$$E_{3c} = \{(C_{k,i,j}, C_{l,g,h}) \mid C_{k,i,j}, C_{l,g,h} \in \Sigma \wedge l = k \wedge h = j \wedge i = g - 1\}$$

Ostatecznie graf przyjmuje następującą postać (zbiór krawędzi):

$$E = E_1 \cup E_2 \cup E_{3a} \cup E_{3b} \cup E_{3c}$$

Do wygenerowania grafu zależności Diekerta dla macierzy o rozmiarze $N = 3$ wykorzystano program stworzony w zadaniu 1 z laboratorium 5. Program wraz z opisem (*readme.txt*) znajduje się w podkatalogu 'graph_foata_generator'.

Dostarczony do programu plik wejściowy znajduje się na Rysunku 1, a część otrzymanego wyjścia (bez relacji zależności i niezależności) na Rysunku 2.

```
inputs > input.txt
1 (A21) m21 := M21 / M11
2 (A31) m31 := M31 / M11
3 (A32) m32 := M32 / M22
4 (B211) n211 := M11 * m21
5 (B212) n212 := M12 * m21
6 (B213) n213 := M13 * m21
7 (B214) n214 := M14 * m21
8 (B311) n311 := M11 * m31
9 (B312) n312 := M12 * m31
10 (B313) n313 := M13 * m31
11 (B314) n314 := M14 * m31
12 (B322) n322 := M22 * m32
13 (B323) n323 := M23 * m32
14 (B324) n324 := M24 * m32
15 (C211) M21 := M21 - n211
16 (C212) M22 := M22 - n212
17 (C213) M23 := M23 - n213
18 (C214) M24 := M24 - n214
19 (C311) M31 := M31 - n311
20 (C312) M32 := M32 - n312
21 (C313) M33 := M33 - n313
22 (C314) M34 := M34 - n314
23 (C322) M32 := M32 - n322
24 (C323) M33 := M33 - n323
25 (C324) M34 := M34 - n324
26
27 A = {A21, A31, A32, B211, B212, B213, B214, B311, B312, B313, B314, B322, B323, B324, C211, C221, C231, C241, C311,
    C321, C331, C341, C322, C323, C324}
28
29 w = A21 B211 C211 B212 C212 B213 C213 B214 C214 A31 B311 C311 B312 C312 B313 C313 B314 C314 A32 B322 C322 B323 C323
    B324 C324
```

Rysunek 1. Plik wejściowy dostarczony do programu generującego graf zależności Diekerta i klasy Foaty

FNf: (A21A31)(B211B212B213B214B311B312B313B314)(C211C212C213C214C311C312C313C314)(A32)(B322B323B324)(C322C323C324)

Graph (dot): digraph "graph" {

0 [label=A21]

1 [label=B211]

2 [label=C211]

3 [label=B212]

4 [label=C212]

5 [label=B213]

6 [label=C213]

7 [label=B214]

8 [label=C214]

9 [label=A31]

10 [label=B311]

11 [label=C311]

12 [label=B312]

13 [label=C312]

14 [label=B313]

15 [label=C313]

16 [label=B314]

17 [label=C314]

18 [label=A32]

19 [label=B322]

20 [label=C322]

21 [label=B323]

22 [label=C323]

23 [label=B324]

24 [label=C324]

0 -> 1

0 -> 3

0 -> 5

0 -> 7

1 -> 2

3 -> 4

4 -> 18

5 -> 6

6 -> 21

7 -> 8

8 -> 23

9 -> 10

9 -> 12

9 -> 14

9 -> 16

10 -> 11

12 -> 13

13 -> 18

14 -> 15

15 -> 22

16 -> 17

17 -> 24

18 -> 19

18 -> 21

18 -> 23

19 -> 20

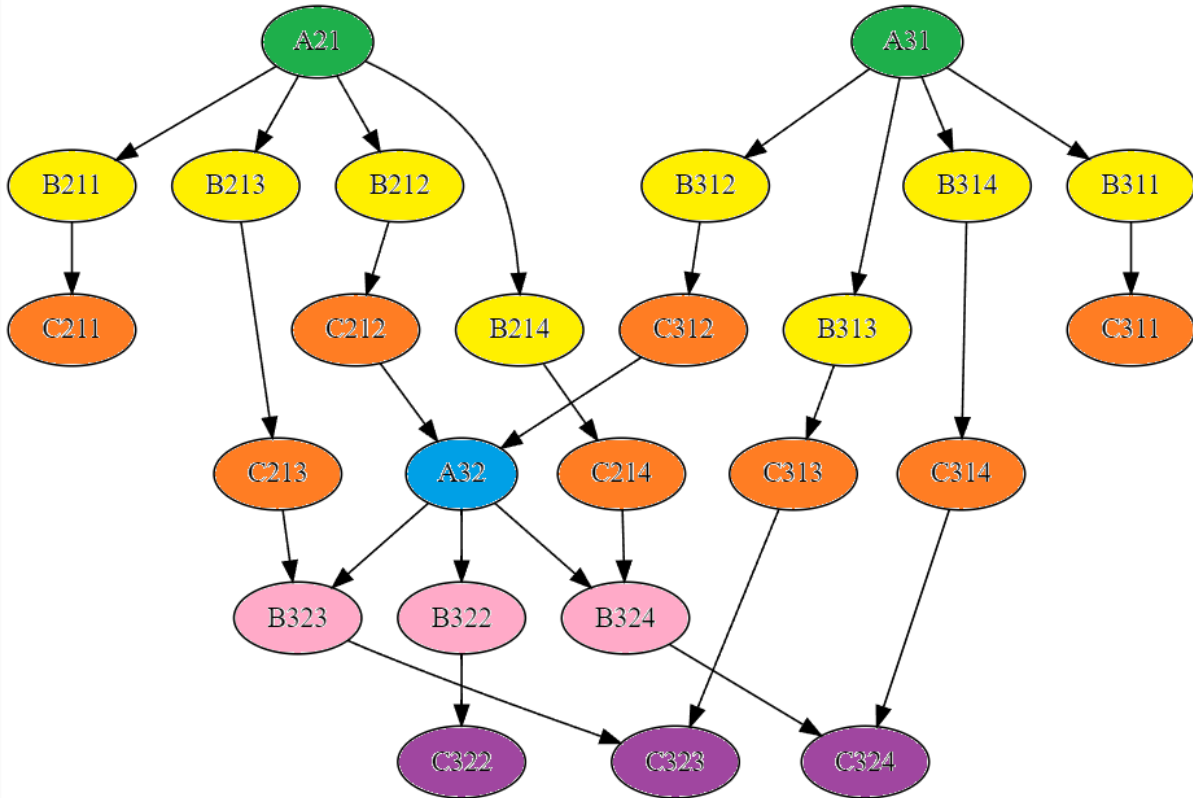
21 -> 22

23 -> 24

}

Rysunek 2. Otrzymane wyjście programu generującego graf zależności Diekerta i klasy Foaty

Za pomocą strony [Graphviz Online](https://graphviz.org/) wygenerowano wizualizację otrzymanego grafu. Widoczna jest ona na Rysunku 3, na którym zaznaczono również otrzymane klasy Foaty.



Rysunek 3. Wizualizacja otrzymanego grafu Diekerta dla N=3 z pokolorowanymi klasami Foaty

7. Postać normalna Foaty

Na podstawie klas Foaty otrzymanych dla macierzy o rozmiarze N=3, wyprowadzono ich uogólnioną postać.

Klasy Foaty rozdzielają się na 3 podgrupy:

- F_{Ax} - znalezienie wszystkich mnożników m potrzebnych do znalezienia współczynników n potrzebnych do wyzerowania kolumny o indeksie x - operacje A

$$F_{Ax} = \{A_{k,x} \mid x < k \leq N, 1 \leq x < N - 1\}$$

- F_{Bx} - znalezienie wszystkich współczynników n potrzebnych do wyzerowania kolumny o indeksie x - operacje B

$$F_{Bx} = \{B_{k,x,j} \mid x < k \leq N \wedge x \leq j \leq N + 1, 1 \leq x < N - 1\}$$

- F_{Cx} - odejmowanie współczynnika n w celu wyzerowania kolumny o indeksie x

$$F_{Cx} = \{C_{k,x,j} \mid x < k \leq N \wedge x \leq j \leq N + 1, 1 \leq x < N - 1\}$$

Postać normalna Foaty przyjmuje następującą postać:

$$FNF = F_{A1} F_{B1} F_{C1} F_{A2} F_{B2} F_{C2} \dots F_{AN-1} F_{BN-1} F_{CN-1}$$

8. Implementacja algorytmu

Algorytm został zaimplementowany w języku Java. Instrukcja uruchomienia znajduje się w pliku *readme.txt* w katalogu *concurrent_gaussian_elimination*.